

B-47

## 嫌気性消化における溶解性ニッケルのスペシエーション

福井工業大学工学部建設工学科 高島正信  
 福井工业大学大学院工学研究科 ○島田康司

## 1. はじめに

嫌気性細菌はFe、Ni、Co等の微量金属を必須としているが、嫌気下では硫化水素等と沈殿形成しやすく、その分微生物に利用されにくい。その一方で、微生物の溶存代謝産物 (Soluble microbial products、SMP) は微量金属と錯形成し、溶存状態に保つことが指摘されている<sup>1), 2)</sup>。いずれにせよ、嫌気性リアクター内における微量金属の水質学的解析はこれまで定量的に行われてこなかったのが実状である。

本研究では、メタン生成細菌特有の補酵素 F<sub>430</sub>に含まれ、活性促進作用が報告されているニッケルを対象とし、ボルタメトリーの手法を用いた Ni-SMP 間の錯形成の測定と、化学平衡計算プログラム MINEQL+<sup>3)</sup>を用いた嫌気性リアクター内における Ni のスペシエーションを試みてみた。

## 2. 実験方法

## 2. 1 嫌気性リアクターとサンプリング方法

対象とした嫌気性リアクターは有効容積 5.0L のアクリル樹脂製で、温度 35°C、HRT15 日、pH 約 7.2 の fill and draw モードで運転した。基質は、グルコースをエネルギー・炭素源として CODcr 10g/L に調整したものである（表 1）。リアクター混合液は引き抜き後遠心（15000rpm、15 分）し、酸洗浄した 0.45 μm メンブレンフィルター（アドバンテック 045A047A）でろ過した。ろ液は分析までポリエチレン容器中に窒素ガスを充填し 4°C で保存した。

## 2. 2 CLE-CSV 滴定

本法は、Competitive ligand exchange-cathodic stripping voltammetry (CLE-CSV) と呼ばれ、Ni については van den Berg and Nimmo<sup>4)</sup>によって海水に適用されたのが最初である。天然の錯化物質（この場合 SMP）と Ni が存在する溶液に人工的な錯化物質 Dimethylglyoxime (DMG) を加えて新たな競合平衡を作らせ、CSV は Ni-DMG 錯体にしか応答しないことをを利用して天然錯化物質の錯化能を測定するものである。

今回は、ろ液中の Ni は本法の直線応答範囲（～約 10 μg/L）より多量に存在していたため、0.1M NaCl でまずろ液を 10 倍希釈した。また、ろ液は CO<sub>2</sub>、H<sub>2</sub>S、揮発性有機酸 (VFA) を含むが、これらが測定中に pH 変動等の弊害をもたらすため、pH を約 4 に低下させ N<sub>2</sub> パージを 15～20 分行うことにより予め除去した。このろ液に 0.01M MOPS バッファー (pH7.2) を加え、次いで 50mL ポリエチレン容器に 10mL ずつ分注し、段階的な濃度の Ni とその 1～2 時間後に 10<sup>-6</sup> または 2x10<sup>-6</sup>M の DMG を加え、35°C で約 1 日間の平衡時間をとってから CSV (METROHM 757VA Computrace) に供した。CSV 測定の手順は、N<sub>2</sub> で 5 分間パージし、-0.7V で 60 秒間吸着させ、平衡時間 15 秒の後、負の方向へパレス高さ 50mV、スキャン速度 20mV/秒で -0.7 から -1.1V までスキャンした。微分パレスモードで測定し、搅拌速度 1000rpm、水銀滴のサイズ約 0.49mm<sup>2</sup>、pH7.2 における還元電流 i<sub>p</sub> のピークは -0.84V 付近であった。なお、分析時の温度を 35°C に保つため、CSV 用容器を小さなウォーターパスの中に入れて測定した。

計算に必要な Ni と DMG の錯化安定度定数は報告が少なく、また、温度やイオン強度等の影響を受ける。

表 1 基質の組成

成分	濃度(g/L)
グルコース	9.4
NH <sub>4</sub> Cl	1.3
KCl	0.4
KH <sub>2</sub> PO <sub>4</sub>	0.28
Na <sub>2</sub> S · 9H <sub>2</sub> O	0.25
NaSO <sub>4</sub>	0.12
L-システイン	0.036
ミネラル溶液 <sup>a)</sup>	20 mL
NaHCO <sub>3</sub>	4.0

a) CaCl<sub>2</sub>·2H<sub>2</sub>O:4.8, MgCl<sub>2</sub>·6H<sub>2</sub>O:1.5, FeCl<sub>3</sub>·4H<sub>2</sub>O:0.82, NiCl<sub>2</sub>·6H<sub>2</sub>O:0.16, CoCl<sub>2</sub>·6H<sub>2</sub>O: 0.12, ZnCl<sub>2</sub>:0.42, AlCl<sub>3</sub>·6H<sub>2</sub>O:0.05, CuCl<sub>2</sub>·2H<sub>2</sub>O:0.05, MnCl<sub>2</sub>·2H<sub>2</sub>O:0.05, NaMoO<sub>4</sub>·2H<sub>2</sub>O:0.05, NaSeO<sub>3</sub>: 0.05, NaWO<sub>4</sub>·2H<sub>2</sub>O:0.05, H<sub>3</sub>BO<sub>3</sub>:0.05, NH<sub>4</sub>VO<sub>3</sub>: 0.05, KI:1.0 (g/L)

そのため、マイクロウェーブ処理（100°Cで2分、165°Cで10分；O-I ANALYTICAL MODEL7195）したろ液を用い、よく知られたキレート物質EDTA（濃度 $10^{-6}$ ～ $10^{-5}$ M）を対照とするキャリブレーションを行い、Ni-DMGの錯化安定度定数を算出した。

### 2.3 分析方法

CODcrはStandard Methods 5220D<sup>5)</sup>に従った。陽イオン（Na、K、NH<sub>4</sub>、Ca、Mg）はイオンクロマトグラフ（SHIMADZU LC-6A、カラム IC-C3）、陰イオン（Cl、PO<sub>4</sub>）はイオンクロマトグラフ（DIONEX DX-120、カラム AS14）、VFAは液体クロマトグラフ（SHIMADZU LC-6A、カラム SCR-102H）、ガス成分（CH<sub>4</sub>、CO<sub>2</sub>、H<sub>2</sub>）はガスクロマトグラフ（SHIMADZU GC-9A、カラム Parapak Q）によって分析した。生成ガス中のH<sub>2</sub>Sの測定には、検知管（GASTEC No. 4H）を用いた。また、NiおよびCoの溶解性濃度は、ろ液のマイクロウェーブ処理後、2.2と同じCSV法による標準添加法で測定した。

### 3. 実験結果および考察

#### 3.1 DMGの錯化安定度定数

Ni-DMG錯体の安定度定数 $\beta'_{Ni(DMG)_2}$ は、EDTAを添加していないときの電流値*i<sub>p0</sub>*に対する $10^{-6}$ 、 $4 \times 10^{-6}$ または $10^{-5}$ MのEDTAを添加したときの電流値*i<sub>p</sub>*の比 $X = i_p / i_{p0}$ をまず算出し、その比を与える値をMINEQL+でトライ・アンド・エラー計算して求めた。平均すると $\beta'_{Ni(DMG)_2}$ は21.0（T=35°C、I=0.1M、pH=7.2）となった。なお、MINEQL+のデータベースに含まれていないCo(DMG)<sub>2</sub>の安定度定数として16.98<sup>6)</sup>を使用した。報告されている $\beta'_{Ni(DMG)_2}$ 値は17.0（T=20°C、塩分濃度=32.5%）<sup>4)</sup>から22.9（T=22°C、I=0M）<sup>7)</sup>とかなり広く分布しており、本研究では得られた値をそのまま使用した。

#### 3.2 SMPの錯化安定度定数

本実験では、二つのサンプルについて測定し、サンプル1は3日間のろ液を混合したコンポジット、サンプル2は1日のサンプルから作成したろ液である。例として、サンプル1の滴定曲線とそれを直線化したものを図1および図2に示す。平衡関係と物質収支から滴定曲線は次のように直線化される<sup>4)</sup>。

$$[Ni^{2+}] / [NiSMP] = [Ni^{2+}] / C_{SMP} + 1 / (K'_{NiSMP} \cdot C_{SMP})$$

ここで、 $K'_{NiSMP}$ はNi-SMP錯体の条件付き安定度定数、C<sub>SMP</sub>は錯形成に関与するSMP濃度である。これらは直線の傾きと切片から求めることができ、得られた結果を表2にまとめる。

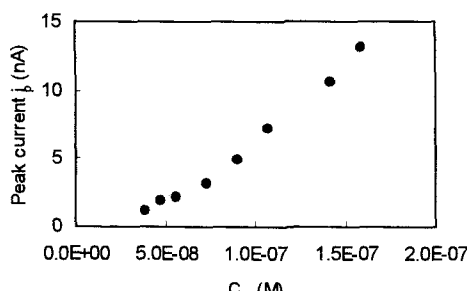


図1 滴定曲線（サンプル1）

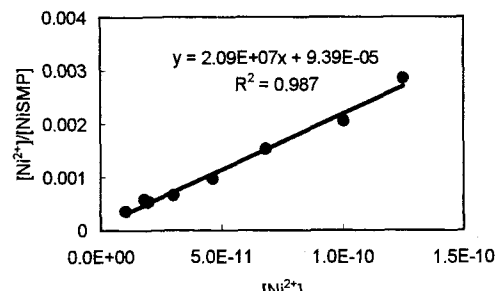


図2 滴定曲線の直線化（サンプル1）

表2 CLE-CSVによるNi-SMP錯体の条件付き安定度定数と錯化SMP濃度（T=35°C、I=0.1M、pH=7.2）

	DMG濃度(M)	$\log K'_{NiSMP}$ (M <sup>-1</sup> )	C <sub>SMP</sub> (M)	C <sub>SMP</sub> (無希釈)(M)
サンプル1	$2 \times 10^{-6}$	11.3	$4.77 \times 10^{-8}$	$4.77 \times 10^{-7}$
サンプル2	$10^{-6}$	11.0	$4.41 \times 10^{-8}$	$4.41 \times 10^{-7}$

Niに対するSMPの安定度定数(log値で11.0~11.3)は、NTA(同11.4)<sup>8)</sup>やシスティン(同9.65)<sup>8)</sup>に近く、かなり強い錯形成能があるとみなされる。これまで嫌気性処理について唯一報告されているKuo and Parkin<sup>9)</sup>の値は、Ni選択性のイオン電極を用いたもので、log表示で3.62と小さい。SMP中の錯化能のある物質または場所は多岐に富むのでこのように大幅に異なったと思われ、本研究では最も強いものが検出されたと考えられる。

### 3. 3 嫌気性リアクター内におけるスペシエーション

3. 2で求めたNi-SMP錯体のデータを入力し、MINEQL+によって化学平衡計算を行った結果を表3に示す。ここでは、NiとHS<sup>-</sup>の錯体も考慮することとし、三つの報告<sup>10), 11), 12)</sup>から錯化安定度定数の平均をとり、log表示でNiHS<sup>+</sup>については5.6、Ni(HS)<sub>2</sub>については11.3を温度補正なしで使用した(ただし、I=0Mでの値)。表3より、最も存在割合が高いNiの形態はSMPとの錯体で、70.1~85.2%を占めている。次いで、Ni(HS)<sub>2</sub>が残りのほとんどを占めた。一般に、バイオアベイラブルな微量金属の形態はフリー、ひいては無機錯体とみなされているので<sup>13)</sup>、溶解性Niの約15~30%は直接的な利用が可能であると考えられた。

表3 MINEQL+による嫌気性リアクター内溶解性Niのスペシエーション結果(T=35°C, I=約0.1M, pH=7.2)

順位	形態	サンプル1		サンプル2	
		log 濃度(M)	全Niに対する%	log 濃度(M)	全Niに対する%
1	NiSMP	-6.47	85.2	-6.50	70.1
2	Ni(HS) <sub>2</sub>	-7.24	14.7	-6.87	29.6
3	NiHS <sup>+</sup>	-9.27	0.14	-8.91	0.27
4	NiHCO <sub>3</sub> <sup>+</sup>	-10.3	0.013	-9.92	0.026
5	Ni <sup>2+</sup>	-11.0	0.0027	-10.6	0.0054
6	NiCO <sub>3</sub>	-11.1	0.0023	-10.7	0.0046
7	NiCl <sup>+</sup>	-12.5	0.00007	-12.2	0.00014
8	NiNH <sub>3</sub> <sup>2+</sup>	-12.7	0.00005	-12.3	0.00010

### 4. まとめ

本研究では、微量栄養素として重要なNiについて、嫌気性リアクター内の溶解性液中におけるスペシエーションを試みた。ボルタメトリーの応用であるCLE-CSV法と化学平衡計算プログラムMINEQL+を用い検討した結果、Niに対して強固な錯体を形成するSMPが存在し、溶解性Niの70~85%がSMPとの錯体として存在することが示唆された。

### 参考文献

- 1) Callander I. J. and Barford J. P. (1983) *Bio technol. Bioeng.* 25, 1959-1972.
- 2) Barker D. J. and Stuckey D. C. (1999) *Wat. Res.* 33, 3063-3082.
- 3) Schecher W. D. and McAvoy D. C. (2001) Environmental Research Software, Hallowell, ME.
- 4) van den Berg C. M. G. and Nimmo M. (1987) *The Science of the Total Environment.* 60, 185-195.
- 5) APHA (1998) *Standard Methods for the Examination of Water and Wastewater*, 20th ed.
- 6) Sillen L. G. and Martell A. E. (1971) *Stability Constants of Metal-Ion Complexes*. Special publication No. 25. The Chemical Society, London.
- 7) Xue H. B., Jansen S., Prasch A. and Sigg L. (2001) *Environ. Sci. Technol.* 35, 539-546.
- 8) Smith R. M., Martell A. E. and Motekaitis R. J. (2003) *NIST Critically Selected Stability Constants of Metal Complexes Database*. U.S. Dept. of Commerce, Gaithersburg, MD.
- 9) Kuo W.-C., Parkin G. F. (1996) *Wat. Res.* 30, 915-922.
- 10) Al-Farawati R. and van den Berg C. M. G. (1999) *Mar. Chem.* 63, 331-352.
- 11) Zhang J.-Z. and Millero F. J. (1994) *Anal. Chim. Acta* 284, 497-504.
- 12) Luther G. W., Rickard D. T., Theberge S. and Olroyd, A. (1996) *Environ. Sci. Technol.* 30, 671-679.
- 13) Tessier A. and Turner D. R. (1995) *Metal Speciation and Bioavailability in Aquatic Systems*. John Wiley and Sons, New York.